

تقييم العزم المسبب للتشقق في العناصر الخرسانية المسلحة المعرضة للانحناء

الدكتور غاندي علي ججاج*

(ورد إلى المجلة في 1998/8/30، قبل للنشر في 1999/3/24)

□ الملخص □

تعتبر دراسة التشقق في العناصر الخرسانية المسلحة من المسائل ذات الأهمية الخاصة، باعتبار أن التشقق يؤثر في سلوك هذه العناصر، ويقلل من قدرة تحملها، ويعيق الاستثمار السليم لهذه العناصر.

يؤثر العزم المسبب للتشقق بشكل كبير في دقة تقييم السهوم الحاصلة في العناصر الخرسانية المسلحة المعرضة للانحناء، لذلك فإن التقييم الصحيح للعزم المسبب للتشقق، يساهم بشكل كبير في زيادة دقة تقييم السهوم، وتوجد طرق مختلفة في الكودات لتقييم العزم المسبب للتشقق وعزم العطالة الفعال وبالتالي السهوم الحاصلة في العناصر المعرضة للانحناء.

يتضمن هذا البحث دراسة تحليلية للعزم المسبب للتشقق، والسهوم، في العناصر الخرسانية المسلحة، وقد تم التركيز على دراسة العزم المسبب للتشقق وطرق تقييمه، والمقارنة بين القيم التجريبية للعزم المسبب للتشقق والقيم الحسابية الناتجة وفق الكود الروسي SNIP والكود الأمريكي ACI-318-89، بهدف التوصل إلى تقييم دقيق للعزم المسبب للتشقق والسهوم الحاصلة في العناصر الخرسانية المسلحة المعرضة للانحناء.

* مدرس في قسم الهندسة الإنشائية - كلية الهندسة المدنية - جامعة تشرين - اللاذقية - سورية.

Evaluation of Cracking Moment in Reinforced Concrete Flexural Members

Dr. Ghandi Ali JAHJAH*

(Received 30/8/1998, Accepted 24/3/1999)

□ ABSTRACT □

The study of cracking in reinforced concrete members has a special importance, because cracking affects the behavior of these members and reduces their capacity and serviceability.

The cracking moment of the reinforced concrete flexural member's greatly affects the accuracy of determining their deflection. The exact value of the cracking moment provides a more accurate determination of deflection.

There are various methods in codes to determine the cracking moment, effective moment inertia, and deflection.

This paper will lay emphasis on the following ideas:

- *An analytical study for flexural cracking moment and deflection in reinforced concrete members.*
- *The methods of evaluating cracking moment and deflections.*
- *The comparison between the experimental and theoretical values of the cracking moment according to Russian (SNIP) and American (ACI - 318 - 89) codes.*
- *Determination the factors which have an influence on the cracking moment and deflections.*

* Lecturer at Department of Structural Engineering, Faculty of Civil Engineering, Tishreen University, Lattakia, Syria.

I - مقدمة:

يتطلب تصميم العناصر الخرسانية المسلحة المعرضة للانحناء البسيط، تأمين المتانة والمقاومة الكافية لتحمل القوى والمؤثرات الخارجية، ويتم ذلك كما هو معلوم باختيار أبعاد وتسليح كاف وإستخدام مواد (خرسانة وفولاذ تسليح) ذات مقاومات كافية، أما ضمان سلامة تشغيل واستثمار العناصر الخرسانية المسلحة، وبالتالي ضمان سلامة تشغيل واستثمار المنشآت الخرسانية المسلحة، فيعتمد على ضمان قيم لعرض الشقوق والإزاحات الانتقالية والدورانية ضمن الحدود المسموح بها والتي لا تعيق أداء المنشأ لأغراضه الرئيسية التي أنشئ من أجلها.

لقد زادت أهمية دراسة التشوهات والتشققات وخاصة تحديد العزم المسبب للتشقق والسهوم الحاصلة بعد التطور الكبير في نوعية المواد المستخدمة في العقود الثلاثة الأخيرة، حيث انتشر استخدام فولاذ تسليح بمقاومات عالية، وكذلك خرسانة عالية المقاومة مما ساهم في إمكانية تصميم عناصر خرسانية مسلحة بمقاطع عرضية صغيرة الأبعاد، وبالتالي تزايد احتمال حدوث سهوم كبيرة في هذه العناصر، وهذا ما أعطى دراسة السهوم والتأكد من سلامة العناصر في ظروف الاستثمار أهمية كبيرة [1].

إن عدم المعرفة الدقيقة للتغيرات البنيوية، التي تحصل في الخرسانة وفولاذ التسليح عندما تتعرض العناصر الخرسانية المسلحة لتأثير حمولات مختلفة، وكذلك الطبيعة المعقدة لتوزيع الإجهادات بين التسليح والخرسانة، جعل دراسة السهوم والتشققات وغيرها من التشوهات مسألة لا تخلو من الصعوبة والتعقيد، لذلك فإن أغلب الطرق المعروفة في الكودات المختلفة تعتمد علاقات تقريبية.

في هذا البحث نتعرض لدراسة تحليلية، لتقييم العزم المسبب للتشقق في العناصر الخرسانية المسلحة المعرضة للانحناء استناداً إلى المواصفات القياسية الأمريكية والروسية، بهدف التوصل إلى الطريقة التي تعطي التقييم الأدق للعزم المسبب للتشقق وبالتالي للسهوم الحاصلة في هذه العناصر.

II - تأثير العزم المسبب للتشقق في دقة تقييم السهوم في العناصر الخرسانية المسلحة المعرضة للانحناء:

معلوم أن صلابة الانحناء للعناصر الخرسانية المسلحة المعرضة للانحناء، تتغير تبعاً لقيمة عزوم الانحناء المؤثرة، حيث في المراحل الموافقة لعزوم انحناء أقل من العزم المسبب للتشقق، يكون عزم عطالة المقطع العرضي، وبالتالي صلابة المقطع العرضي غير المتشقق أكبر من

قيمتها بعد ظهور التشققات العمودية على المحور الطولي للعنصر وباعتبار تقييم السهوم يعتمد بشكل رئيسي على عزم عطالة المقطع العرضي حيث تحدد السهوم باستخدام علاقات حساب الإنشاءات المعروفة ذات الشكل العام [2]:

$$f = \beta \frac{M.L^2}{EI} \quad (1)$$

حيث:

β - معامل يعتمد على نوع وطبيعة الاستناد للعنصر المدروس.

I - عزم عطالة المقطع الخرساني، وتختلف هذه القيمة تبعاً لوجود تشققات في المقطع أو عدمها.

M - عزم الانحناء المؤثر في المقطع المدروس.

L - المجاز الحسابي للعنصر المدروس.

فإن دقة حساب عزم العطالة، يقود إلى تقييم دقيق للسهوم الحاصلة في العنصر الخرساني المسلح المعرض للانحناء.

حتى عام 1971 كان يُعتمد عزم

العطالة الكلي للمقطع غير المتشقق، وعزم

العطالة المكافئ للمقطع المتشقق بعد ظهور الشقوق العمودية على المحور الطولي للعنصر بهدف تقييم السهوم في العناصر الخرسانية المسلحة المعرضة للانحناء، إلا أنه تبين أن استخدام عزم عطالة المقطع الكلي لحساب السهوم، يعطي قيماً أقل من الفعلية الحاصلة في ظروف الاستثمار، في حين ينتج عن استخدام عزم العطالة المكافئ قيم أكبر من الفعلية، مما أعطى أهمية خاصة للتحديد الدقيق لعزم العطالة لضمان تقييم دقيق للسهوم في العناصر الخرسانية المسلحة المعرضة للانحناء.

استناداً إلى مجموعة من الاختبارات والدراسات التي أجريت في هذا المجال، اقترح Branson [3،4،5] علاقة لحساب عزم العطالة الفعال I_e ، وهو يأخذ بالاعتبار درجة التحميل، ودرجة التشقق الحاصلة في المقطع العرضي العمودي على المحور الطولي للعناصر الخرسانية المسلحة المعرضة للانحناء:

$$I_e = \left(\frac{M_{cr}}{M_a}\right)^3 I_g + [1 - \left(\frac{M_{cr}}{M_a}\right)^3] I_{cr} \leq I_g \quad (2)$$

I_g - عزم العطالة للمقطع الكلي حول المحور المار من مركز ثقل المقطع (مع إهمال التسليح في المقطع).

في هذه العلاقة:

M_a, M_{cr} - العزم المسبب للتشقق وعزم الانحناء المؤثر في المقطع المدروس على التوالي،

بعد ذلك اقترح Trost، Branson [6] تعديلاً على العلاقة (2)، بحيث يمكن استخدامها للعناصر مسبقة الإجهاد أو ذات الشد الجزئي لتصبح بالشكل:

$$I_e = \left(\frac{M_{cr} - M_{o\phi}}{M_a - M_{o\delta}} \right)^3 I_g + [1 - \left(\frac{M_{cr} - M_{o\phi}}{M_a - M_{o\delta}} \right)^3] I_{cr} \leq I_g \quad (3)$$

I_{cr} - عزم العطالة المكافئ للمقطع المتشقّق بالنسبة إلى المحور المحايد باعتبار قوة سبق الإجهاد مساوية للصفر. واقترح Tadros [7] علاقة لحساب عزم العطالة الفعال مشابهة للعلاقة (3) أخذت الشكل:

$$I_e = \left(\frac{M_{cr} - M_{dec}}{M_a - M_{dec}} \right)^3 I_g + [1 - \left(\frac{M_{cr} - M_{dec}}{M_a - M_{dec}} \right)^3] I_{cr} \leq I_g \quad (4)$$

الخرسانية المسلحة مسبقة الإجهاد، أو ذات الشد الجزئي، فقد اقترح Harajli، Alameh [8] في عام 1989 علاقة لتقييم عزم العطالة الفعال بالشكل:

$$I_e = \frac{I_{cra}}{1 - \frac{M_{cr}}{M_a} \left(1 - \frac{I_{cra}}{I_g} \right)} \quad (5)$$

M_{cr} - العزم المسبب للتشقّق ويشمل ضمنه تأثير قوة سبق الإجهاد، I_{cra} - عزم العطالة المكافئ للمقطع المتشقّق منسوباً إلى المحور المحايد.

I_{cr} - عزم عطالة المقطع الخرساني المكافئ للمقطع المتشقّق بالنسبة للمحور المحايد.

حيث:

$M_{o\phi}$ - العزم الخارجي المؤثر في المقطع الحرج والمسبب لتقوس مقداره صفر، $M_{o\delta}$ - العزم في المقطع الحرج المسبب لسهم في الكمره مساوٍ للصفر (أو جزء العزم المطبق الموازن للسهم العكسي الذي تسببه قوة سبق الإجهاد عندما تؤثر وحدها)،

علماً أن:

M_{dec} - العزم الخارجي في المقطع الحرج المدروس المسبب لإجهادات تساوي الصفر، في الألياف الخرسانية المعرضة للضغط من تأثير قوة سبق الإجهاد، I_{cr} - عزم العطالة المكافئ للمقطع المتشقّق بالنسبة إلى المحور المار من مركز ثقل المقطع المتشقّق.

واستمراراً في تطوير طريقة عزم العطالة الفعال، للمقاطع المتشققة العمودية على المحور الطولي في حالة العناصر

النواة، لكنهما يختلفان في الأسلوب المتبع في كل منهما.

فالمواصفات القياسية الروسية SNIP [12] تقترح أن يحدد العزم المسبب للتشقق M_{cr} بالعلاقة:

$$M_{cr} = R_{bt,ser} \cdot W_{pl} \quad (6)$$

حيث إن :

$R_{bt,ser}$ - إجهادات الشد القصوى في الخرسانة عند الانحناء،

W_{pl} - عزم مقاومة المقطع الخرساني المسلح المرن اللدن في منطقة الشد.

وتحدد قيمة W_{pl} مع الأخذ بالاعتبار العمل المرن لخرسانة منطقة الضغط، والعمل اللدن لخرسانة منطقة الشد [12, 13, 14] وذلك بالعلاقة:

$$W_{pl} = \frac{[2(I_{bo} + \alpha I'_{so} + \alpha I''_{so})]}{h - x} + S_{br} \quad (7)$$

علماً أن:

I'_{so}, I_{so}, I_{bo} - عزوم العطالة بالنسبة إلى محور التعادل لمساحة مقطع خرسانة منطقة الضغط، فولاذ التسليح الواقع في منطقة الشد، وفولاذ التسليح الواقع في منطقة الضغط على التوالي،

h - ارتفاع المقطع العرضي للعنصر الخرساني،

x - ارتفاع خرسانة منطقة الضغط عند التشقق،

α - أمثال التعادل (modular ratio)

$$\alpha = \frac{E_s}{E_c}$$

وقد اعتمد الكود الأمريكي [9] العلاقة (2) لحساب عزم العطالة الفعال منذ عام 1971، كما أن الكود العربي [10]، والكود العربي السوري لتصميم وتنفيذ المنشآت الخرسانية [11]، قد اعتمدا هذه العلاقة، لتقييم السهوم في العناصر الخرسانية المسلحة بعد ظهور التشققات العمودية على المحور الطولي، لكنهما لم يتعاملا مع العناصر الخرسانية المسلحة مسبقة الإجهاد، أو ذات الشد الجزئي .

نلاحظ من العلاقات المذكورة أعلاه، أن العزم المسبب للتشقق يؤدي دوراً هاماً في حساب عزم العطالة الفعال، وبالتالي في تقييم السهوم الحاصلة، ويؤدي التقييم الدقيق للعزم المسبب للتشقق إلى دقة في حساب عزم العطالة الفعال وبالتالي إلى دقة في تقييم السهوم الحاصلة.

لذلك تركز اهتمامنا في هذا البحث على دراسة بعض طرق حساب العزم المسبب للتشقق والعوامل المؤثرة على تقييم العزم المسبب للتشقق.

III - حساب العزم المسبب للتشقق في العناصر الخرسانية المسلحة المعرضة للانحناء:

الطريقة المعتمدة في كل من الكود الروسي SNIP [12]، والكود الأمريكي ACI Code [9]، عند تحديد العزم المسبب للتشقق M_{cr} ، هي طريقة عزم

S_{br} - العزم الستاتيكي لمساحة خرسانة منطقة الشد بالنسبة إلى محور التعادل.

أما الكود الأمريكي [9] ACI Code، فيعتمد العلاقة التالية، لتحديد العزم المسبب للتشقق في العناصر الخرسانية المعرضة للانحناء المسلحة بتسليح عادي (خالٍ من الإجهاد المسبق).

$$M_{cr} = \frac{I_g}{y_b} f_r \quad (8)$$

حيث إن:

f_r - قيمة إجهادات الشد القصوى في الخرسانة عند الانحناء،

y_b - بعد الليف الخرساني المشدود، الأكثر إجهاداً، عن مركز ثقل المقطع الخرساني.

تأخذ المعادلة (6) المذكورة أعلاه بالاعتبار مجموعة من المؤثرات أهملت في العلاقة (8)، فمثلاً العلاقة (8) تهمل تأثير تواجد وكثافة فولاذ التسليح في المقطع العرضي، وتتعامل فقط مع المقطع الخرساني. في حالة العناصر الخرسانية المسلحة مسبقاً بالإجهاد جزئياً أو كلياً، يتم تحديد العزم المسبب للتشقق بأسلوب مشابه لما ذكر سابقاً في العناصر ذات التسليح العادي، مع أخذ تأثير قوة سبق الإجهاد بالاعتبار، فالكود الأمريكي [9] يحدد العزم المسبب للتشقق في العناصر مسبقاً بالإجهاد بالعلاقة:

$$M_{cr} = \frac{I_g}{y_b} f_r + \frac{F_e \cdot I_g}{A_g \cdot y_b} + F_e \cdot e_c \quad (9)$$

F_e - قوة سبق الإجهاد الفعالة،

A_g - المساحة الكلية للمقطع الخرساني،
 e_c - لامركزية تطبيق قوة سبق الإجهاد في المقطع الواقع في منتصف مجاز العنصر بالنسبة إلى مركز ثقل المقطع الخرساني.
 بينما في الكود الروسي SNIP [12]، يتم تقييم العزم المسبب للتشقق في العناصر الخرسانية المسلحة مسبقاً بالإجهاد بالعلاقة:

$$M_{cr} = R_{bt,ser} \cdot W_{pl} + P \cdot r + P \cdot e_{op} \quad (10)$$

هنا:

P - قوة سبق الإجهاد الفعالة،

e_{op} - لامركزية تطبيق قوة سبق الإجهاد بالنسبة إلى مركز ثقل مساحة المقطع المكافئ،

r - المسافة بين نقطة النواة المركزية للمقطع الأكثر بعداً عن الألياف الخرسانية المشدودة، ومركز ثقل مساحة المقطع المكافئ.

علماً أن قيمة المعامل (γ) تتغير تبعاً لحالة الإجهاد والانفعال المتكونة في المقطع العرضي، وتحدد قيمتها عند أخذ تأثير سبق الإجهاد في العناصر المعرضة للانحناء، والمعرضة للضغط اللا محوري [12، 14] بالعلاقة:

$$r = \varphi \left(\frac{W_{red}}{A_{red}} \right) \quad (11)$$

$$0.7 \leq \varphi = 1.6 - \left(\frac{\sigma_b}{R_{b,ser}} \right) \leq 1 \quad (12)$$

حيث:

A_{ps} - عزم مقاومة المقطع المكافئ المرين في منطقة الشد،

A_{ped} - مساحة المقطع المكافئ،

ϕ - معامل يأخذ بالاعتبار الانفعالات اللدنة لخرسانة منطقة الضغط،

σ_b - الإجهادات في الألياف الخارجية لخرسانة منطقة الضغط نتيجة تأثير الأحمال الخارجية، إضافة إلى قوة سبق الإجهاد المؤثرة، والتي تحسب على اعتبار مادة العنصر مرنة خطية،

$R_{b,ser}$ - المقاومة التصوى للخرسانة على الضغط المحددة من اختبار مواشير بأبعاد $150 \times 150 \times 600 \text{ mm}$ ، على الضغط المحوري بعمر 28 يوماً.

عند مقارنة العلاقتين (9) و (10) نجد أنهما متشابهتان في الإطار العام، فكل منهما يأخذ بالاعتبار تأثير قوة سبق الإجهاد، لكن تحديد أبعاد النواة المركزية يختلف بعض الشيء، حيث الكود الروسي [12] SNIP يحددها باعتبار وجود التسليح في المقطع العرضي، أما الكود الأمريكي [9] فيهمل تأثير وجود التسليح على أبعاد هذه النواة.

في كثير من الحالات، يحصل في خرسانة منطقة الضغط في العناصر الخرسانية المسلحة مسبقة الإجهاد تطور في الانفعالات اللدنة الناتجة عن الزحف، نتيجة مستوى الإجهاد العالي، وذلك في المرحلة التي تسبق تكون الشقوق [13].

وقد تبين أنه لا بد من أخذ تأثير الانفعالات اللدنة في خرسانة منطقة الضغط، عند تحديد العزم المسبب للشقق

في المقاطع العمودية على المحور الطولي للعناصر مسبقة الإجهاد، والمعرضة للانحناء، أو الضغط اللامحوري [15، 16]؛ لأن هذه الانفعالات تخفض مقاومة الخرسانة المشدودة لتكون الشقوق فيها [13]، وقد يصل هذا الانخفاض إلى حوالي 20%.

تختلف العلاقات التي تحدد قوة سبق الإجهاد في الكود الروسي عنها في الكود الأمريكي؛ فالكود الأمريكي ACI [9] Code يحدد قيمة قوة سبق الإجهاد في العناصر الخرسانية المسلحة مسبقة الإجهاد جزئياً أو كلياً بالعلاقة:

$$F_e = A_{ps} \cdot f_{se} \quad (13)$$

في هذه العلاقة:

A_{ps} - مساحة المقطع العرضي لفولاذ التسليح مسبق الإجهاد والموجود في منطقة الشد فقط.

f_{se} - قيمة الإجهاد المسبق الفعال، مع الأخذ في الاعتبار جميع الضياعات الحاصلة.

بينما الكود الروسي [12] SNIP يحدد قيمة قوة سبق الإجهاد بالعلاقة:

$$P = \sigma_{sp} \cdot A_{sp} + \sigma'_{sp} \cdot A'_{sp} - \sigma_s \cdot A_s - \sigma'_s \cdot A'_s \quad (14)$$

هنا:

$\sigma_{sp}, \sigma'_{sp}$ - قيمة الإجهاد المسبق الفعال، مع الأخذ في الاعتبار جميع الضياعات الحاصلة، في فولاذ التسليح المجهد

الموجود في منطقة الشد والضغط على التوالي،

σ_{sp} - قيمة إجهادات الضغط في فولاذ التسليح غير مسبق الإجهاد الموجود في منطقة الشد والضغط على التوالي، من تأثير انكماش وزحف الخرسانة،

$A'_{sp}A_{sp}$ - مساحة المقطع العرضي لفولاذ التسليح المسبق الإجهاد الموجود في منطقة الشد والضغط على التوالي،

$A'_{sr}A_{sr}$ - مساحة المقطع العرضي لفولاذ التسليح غير مسبق الإجهاد الموجود في منطقة الشد والضغط على التوالي.

نلاحظ من خلال هاتين العلاقتين لتحديد قوة سبق الإجهاد، أن الكود الأمريكي يهمل تأثير قوة الضغط التي تظهر في فولاذ التسليح غير المجهد، من فعل انكماش وزحف الخرسانة على قوة سبق الإجهاد الفعالة، كما أنه لا يأخذ بالاعتبار وجود التسليح مسبق الإجهاد، والذي يستخدم لضمان عدم تشقق خرسانة منطقة الضغط عند تأثير قوة سبق الإجهاد بعد تطبيق الشد.

إن أخذ جميع المؤثرات التي تؤدي إلى تغيير قيمة العزم المسبب للتشقق M_{cr} صعب جداً، لذلك غالباً ما تلجأ المواصفات العالمية ومنها الكود الروسي والأمريكي [9,12] إلى اعتماد طرق تقريبية لتقييم العزم المسبب للتشقق.

من خلال نتائج تحليل العزم المسبب للتشقق في حالة العناصر

الخرسانية المسلحة المعرضة للانحناء في [16]، والمحسوبة وفق العلاقة (10)، وجد أن اختلافها عن النتائج التجريبية الحاصلة لديه لا تتجاوز 5%.

IV - الدراسة التجريبية لتقييم العزم المسبب للتشقق في العناصر الخرسانية المسلحة المعرضة للانحناء:

يبدأ ظهور التشققات في العناصر الخرسانية عند تجاوز إجهادات الشد في الخرسانة مقاومتها على الشد، ومن خلال العلاقات المذكورة سابقاً (9)، (10) لتحديد عزم تكون الشقوق العمودية على المحور الطولي للعنصر، نجد أن العزم المسبب للتشقق مؤلف من جزأين أساسيين، أحدهما يتعلق بمقاومة مادة المقطع، والآخر خارجي ينتج من تأثير قوة سبق الإجهاد، وعند تحديد قيمة الجزء الأول $(R_{bt,ser} \cdot W_{Pl})$ وفق الكود الروسي SNIP [12]، الذي يأخذ بالاعتبار عزم المقاومة اللدن، نجد أنها أكبر من القيمة $\left(\frac{I_g}{y_b} f_r \right)$ المحددة وفق الكود الأمريكي

ACI Code [9]، الذي يستخدم عزم المقاومة المرن. أما بالنسبة للجزء الثاني، فإن الكود الروسي [12] يأخذ بالاعتبار تأثير إجهادات الضغط في التسليح غير المسبق الإجهاد عند تحديد قوة سبق الإجهاد، بينما يهملها الكود الأمريكي [9]، وبالتالي تكون قيمة هذا الجزء أصغر في

تجارب في مخابر كلية العلوم الهندسية والتقنية بجامعة سبها في ليبيا، على كمرات خرسانية مسلحة بتسليح عادي ومعرضة للانحناء.

IV - I - تحضير عينات الاختبار:

تم تحضير خلطة خرسانية من رمل ناعم وركام خشن مع أسمنت بورتلاندي عادي، وفق النسب الموضحة في الجدول (1).

فولاذ التسليح المستخدم في هذا الجزء من التجارب من النوع الأملس العادي، وبقطر 12mm للتسليح العامل في منطقة الشد، وقطر 10mm لتسليح الربط، وأساور عرضية بقطر 6mm. ويوضح الجدول (2) مواصفات التسليح المستخدمة، والتي حددت تجريبياً.

حالة استخدام الكود الروسي عن تلك المحددة وفقاً للكود الأمريكي.

في العناصر الخرسانية المسلحة مسبقاً بالإجهاد، أو ذات الشد الجزئي، تكون عزم قوة سبق الإجهاد (الجزء الثاني من معادلة تحديد M_{cr}) أكبر بكثير من الجزء الأول المتعلق بمقاومة مادة المقطع؛ لذلك فإن تقييم العزم المسبب للتشقق M_{cr} باستخدام الكود الأمريكي أو الروسي لا يختلف كثيراً لمثل هذه العناصر (أي العناصر مسبقاً بالإجهاد أو ذات الشد الجزئي)، لذلك تركز اهتمامنا في هذه الدراسة على العناصر الخرسانية المسلحة العادية (الخالية من التسليح المسبق بالإجهاد).

ويهدف دراسة العزم المسبب للتشقق في العناصر الخرسانية المسلحة العادية المعرضة للانحناء، أجرينا عدة

جدول 1 . نسب المواد الداخلة في تركيب الخلطة الخرسانية

الماء الأسمنت	الماء Kg/m^3	الأسمنت Kg/m^3	الركام الخشن Kg/m^3	الرمل الناعم Kg/m^3
0.490	203	414	1360	366

جدول 2 . مواصفات التسليح المستخدم.

معامل المرونة Mpa	حد الانهيار Mpa	حد الخضوع Mpa	القطر mm	نوع التسليح
$2,1 \cdot 10^5$	510,6	381,0	12	أملس عادي
$2,1 \cdot 10^5$	392,1	280,7	10	أملس عادي

2700mm، وتم صبها في قوالب معدنية جهزت خصيصاً لهذه الغاية من صفائح

صممت جميع الكمرات بمقطع ثابت 150×300mm، وبمجاز

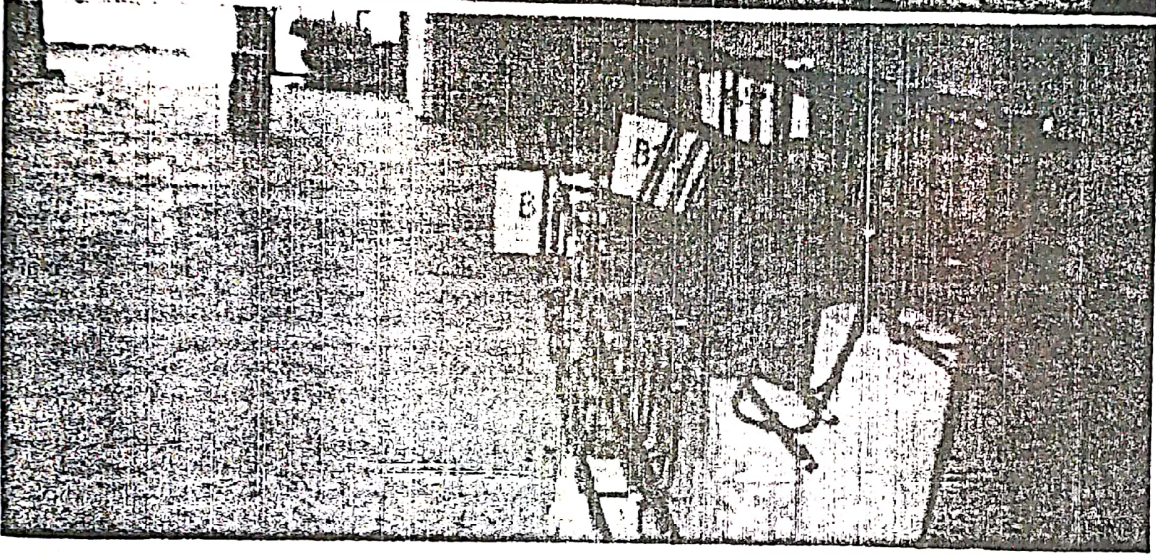
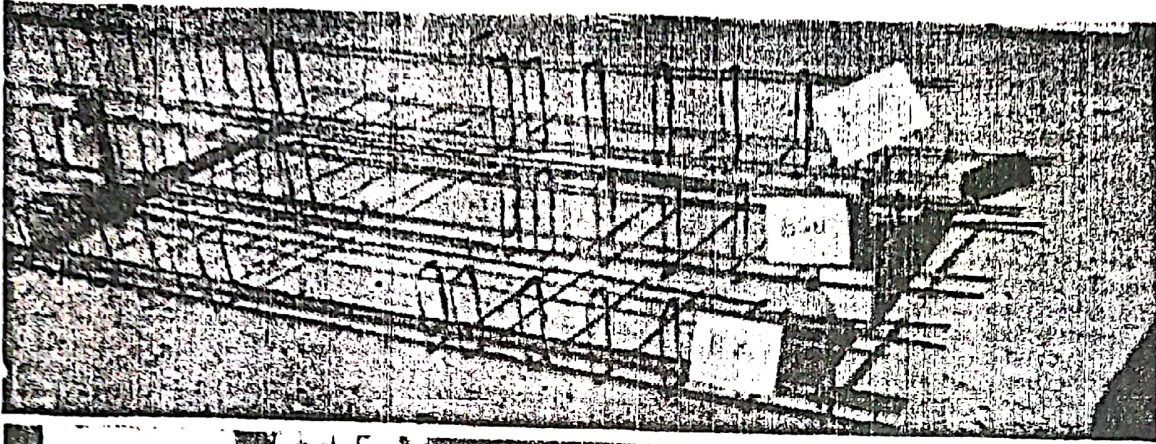
مواشر $100 \times 100 \times 550$ mm، وحفظ نصف هذه العينات في المخبر بظروف نظامية والنصف الآخر في نفس ظروف حفظ الكمرات المختبرة.

اختلف توزيع التسليح الطولي للكمرات في مقاطعها العرضية، من قضيب واحد إلى أربعة قضبان، وبانتشار متغير ضمن المقطع العرضي من مجموعة إلى أخرى، لأهداف خارجة عن مجال الدراسة الحالية، ويوضح الجدول (3) مواصفات الكمرات المختبرة، كما يوضح الشكل (1) بعض نماذج هياكل التسليح.

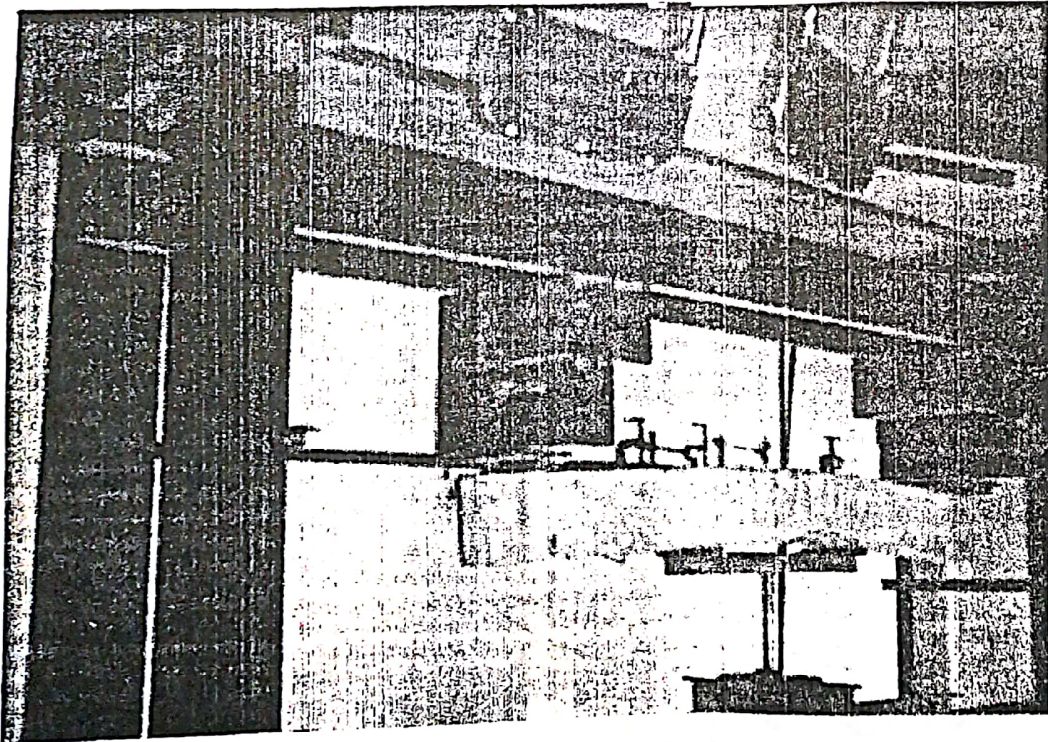
معدنية بسماكة 5mm، مع تقوية خاصة للجوانب بزوايا معدنية، وبشكل يضمن سهولة الفك والتركيب، وجرى تحضير الخلطة للصب، باستخدام خلطة آلية تدور حول محور شاقولي وفق نسب الخلط المحددة أعلاه، أما الصب والدمك فقد تمّ يدوياً، وعلى طبقات متلاحقة، مع مراعاة التجانس في الخرسانة، ودرجة الدمك لكل جزء من أجزاء الكمرة، وبهدف تحديد مواصفات الخرسانة المستخدمة على الشد والضغط، تم صب مجموعة مكعبات $100 \times 100 \times 100$ mm وأخرى $150 \times 150 \times 150$ mm إضافة إلى

جدول 3 . الخواص الهندسية للكمرات المختبرة.

f_{rt} Mpa	f'_c Mpa	E'_c Mpa	E_s Mpa	f_y Mpa	A_s mm^2	a mm	h mm	b mm	المقطع العرضي	رمز العينة
2,87	19,8	$2,25 \times 10^4$	$2,1 \times 10^5$	381	113	35	280	141		BS1
							300	140		BS2
					226	35	300	140		BS3
							300	140		BS4
					226	58,5	300	141		BS5
							300	141		BS6
					339	50,67	300	141		BS7
							300	140		BS8
					339	35	297	142		BS9
							300	141		BS10
					452	58,5	300	140		BS11
							295	142		BS12



الشكل 1. نماذج هياكل تسليح الكمرات المختبرة.



الشكل 2. طريقة اختبار الكمرات الخرسانية المسلحة.

IV - 2 - طريقة الاختبار:

اختبرت جميع العينات بطريقة واحدة، بتطبيق قوتين مركزتين في ثلثي المجاز، عن طريق كمررة معدنية صلبة، تستند على اسطوانتين صلبتين في الموقع المراد تطبيق الحمولة فيه، كما هو موضح في الشكل (2). وبتزايد للحمولة بمعدل 2KN لكل مرحلة تحميل حتى ظهور التشققات، مع التوقف بعد كل مرحلة لمراقبة التشققات بواسطة مكبر يدوي (Optical Micrometer)، وأخذ قراءة أجهزة قياس السهوم الموزعة في عدة مواقع من مجاز الكمررة (وسط المجاز، تحت الأحمال المركزة، قرب المساند)، كما وضعت أجهزة لقياس الهبوط المحتمل في مساند الكمررة.

بعد ظهور التشققات تمت زيادة معدل التحميل لكل مرحلة، فأصبحت حوالي (5KN) وسطياً وأخذت قراءات الأجهزة وعرض التشققات وتباعدها بعد كل مرحلة تحميل. ويوضح الشكل (2) نموذج اختبار الكمررات بعد وصولها إلى مرحلة الانهيار.

IV - 3 - نتائج الاختبار والمناقشة:

من خلال الاختبارات التي أجريناها، تبين أن ظهور التشققات في الجزء المعرض للانحناء الصافي (بين نقطتي تطبيق القوتين)، كان عمودياً على

اتجاه الإجهادات الشادة الرئيسية الناتجة عن العزم الصافي، أما خارج هذه المنطقة، فإن التشققات كانت تبدأ مشابهة لتشققات الانحناء، ولكن مع زيادة الحمولة المؤثرة تصبح إجهادات القص ذات تأثير واضح على اتجاه التشققات الحاصلة في هذه المناطق. وفي جميع الحالات كان ظهور التشققات مفاجئاً. ويوضح الشكل (3) توزع واتجاه التشققات في الكمررات المختبرة.

نلاحظ أن نسبة التسليح الفعلية للكمررات المختبرة، تراوحت ضمن المجال من 0,3% إلى 1,3% ($\mu_s = A_s / bd$)، وبالمقارنة مع النسبة التوازنية $\mu_b = 2,34%$ نجد أن هذه النسب الفعلية أقل من القيم التوازنية، وقد انعكس ذلك على كيفية انهيار هذه الكمررات؛ حيث بدأ الانهيار بسيلان فولاذ التسليح، مما أدى إلى زيادة سرعة اتساع الشقوق، ونقصان ارتفاع المنطقة المضغوطة حتى حصول انهيار هذه المنطقة شكل (3).

بعد تحديد عزم ظهور الشقوق تجريبياً، تم حساب قيمة العزم المسبب للتشقق، وفق كل من الكود الروسي [12] وSNIP والكود الأمريكي [9] ACI Code، وأجريت المقارنة مع القيم التجريبية، فحصلنا على النتائج الموضحة على الجدول (4).

ويظهر واضحاً من الجدول (4)، أن الاختلاف بين القيم التجريبية والحسابية قد

الاختبارات في [17]، إلى المقارنة بين سلوك العناصر الخرسانية المسلحة باللياف تسليح بلاستيكية (Fiber Reinforced Plastic) FRP، والعناصر الخرسانية بفولاذ تسليح عادي. ويوضح الجدول (6) نتائج المقارنة بين القيم التجريبية للعزم المسبب للتشقق للعناصر المختبرة في [17] والقيم الحسابية الناتجة باستخدام علاقات الكود الروسي [12] SNIP، والكود الأمريكي ACI Code [9]، والتي من خلالها نلاحظ أن القيم المحسوبة لـ M_{cr} أكبر من القيم التجريبية.

بلغ وسطياً حوالي 55,6%، وبحد أقصى حوالي 60%، عند الحساب وفق علاقات الكود الروسي SNIP [12]، أما عند الحساب باعتماد علاقات الكود الأمريكي [9]، فقد بلغ الاختلاف وسطياً مقدار 10,42% وبحد أقصى 20% لبعض الحالات. وفي كلتا الحالتين كانت القيم الحسابية أكبر من التجريبية.

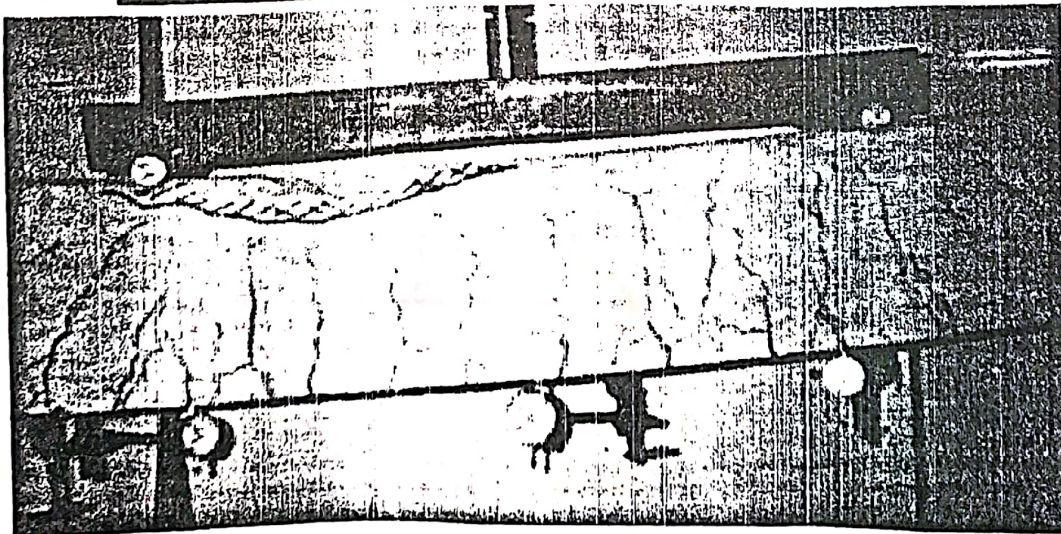
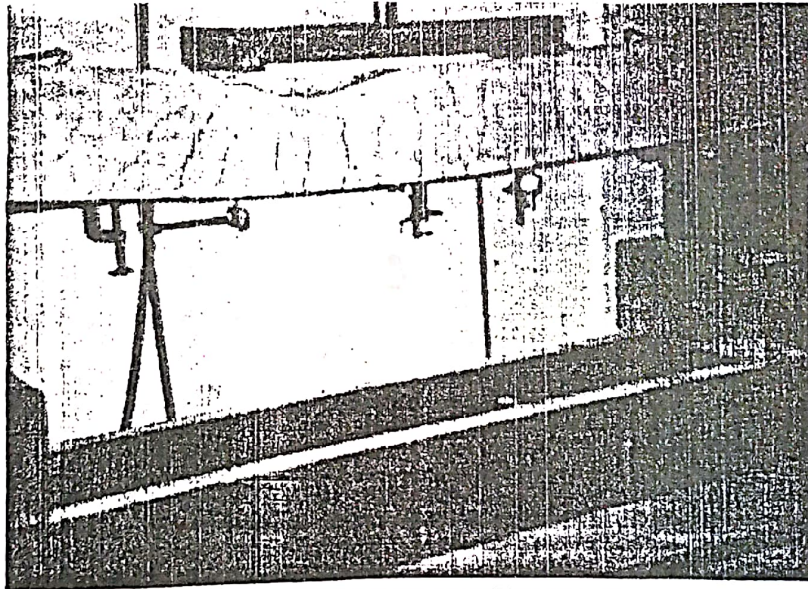
في [17] تم اختبار عناصر خرسانية مسلحة معرضة للانحناء. ويبين الجدول (5) الخواص الهندسية لمقاطعها العرضية، والخواص الميكانيكية للخرسانة وفولاذ التسليح المستخدم. وقد هدفت

جدول 4. مقارنة النتائج التجريبية لقيم العزم المسبب للتشقق بالقيم الحسابية وفق ACI Code و SNIP (مع إهمال تأثير التسليح في منطقة الضغط)

ACI 318 - 89		SNIP 2.03.01-84		M_{cr}^{exp} kN.M	رمز العينة
$\frac{M_{cr}^{exp} - M_{cr}^{cal}}{M_{cr}^{cl}}$	M_{cr}^{cal} kN.M	$\frac{M_{cr}^{exp} - M_{cr}^{cal}}{M_{cr}^{cl}}$	M_{cr}^{cal} kN.M		
-4,557	5,280	-49,2	9,938	5,048	BS1
-8,63	6,028	-51,3	11,310	5,508	BS2
-20	6,028	-59,9	12,059	4,819	BS3
-19,87	6,028	-59,9	12,059	4,830	BS4
-9,5	6,071	-56,07	11,657	5,120	BS5
-17,8	6,071	-57,3	11,687	4,990	BS6
-6,65	6,071	-54,23	12,381	5,667	BS7
-14,3	6,028	-58,03	12,306	5,165	BS8
-3,97	5,288	-54,90	11,258	5,078	BS9
-9,27	6,071	-57,21	12,873	5,508	BS10
-1,01	6,028	-53,02	12,700	5,967	BS11
-6,14	5,912	-56,7	12,356	5,549	BS12

جدول 5. الخواص الهندسية للعناصر الخرسانية المسلحة المختبرة في [17] .

f_{rt} mpa	f'_c mpa	E_c mpa	E_s mpa	f_y mpa	A_s mm ²	المقطع العرضي للعينة	رمز العينة
3.9	43	$3.3 \cdot 10^4$	$4.5 \cdot 10^4$	690	586		ISO1 ISO2
			$2 \cdot 10^5$	480	568		ST1 ST2
			$4.5 \cdot 10^4$	690	586		ISO4 ISO3
			$2 \cdot 10^5$	480	586		ST3 ST4



شكل 3. نموذج انهيار الكمرات الخرسانية المسلحة المختبرة

جدول 6 . نتائج حساب العزم المسبب للتشقق وفق ACI,Code و SNIP
والمقارنة بنتائج الاختبار في [17].

SNIP 2.03.01-84		ACI 318 - 89		M_{cr}^{exp} kN.m	رمز العينة	رقم العينة
$\frac{M_{cr}^{exp} - M_{cr}^{cal}}{M_{cr}^{cal}} \cdot 100$ %	M_{cr}^{cal} kN.m	$\frac{M_{cr}^{exp} - M_{cr}^{cal}}{M_{cr}^{cal}} \cdot 100$ %	M_{cr}^{cal} kN.m			
-59.52	21	-27.97	11.8	8.5	ISO1	1
-49.52	21	-11.02	11.8	10.6	ISO2	2
-64.29	23.8	-27.97	11.8	8.5	ST1	3
-55.5	23.8	-10.17	11.8	10.6	ST2	4
-48.13	71.52	-6.55	39.7	37.1	ISO3	5
-50.22	71.52	-10.33	39.7	35.6	ISO4	6
-51.72	76.85	-6.55	39.7	37.1	ST3	7
-52.37	76.85	-7.81	39.7	36.6	ST4	8

العناصر واختلافها عن القيم التجريبية،
يحتاج إلى تحليل، ودراسة إضافية.
واستكمالاً لهذه الدراسة، فقد أجرينا
مجموعة من الاختبارات الإضافية، بهدف
تحليل العوامل المختلفة المؤثرة في تقييم
العزم المسبب للتشقق، والتوصل إلى
إمكانية تقييم دقيق لقيمة العزم المسبب
للتشقق. وسوف نعرض هذه النتائج لاحقاً.

بناءً على نتائج التجارب التي
تمت، والمقارنات المذكورة، نجد أن كلاً
من الكود الروسي SNIP والأمريكي
ACI. Code، يسهلان حساب العزم
المسبب للتشقق في العناصر الخرسانية
المسلحة المعرضة للانحناء، ولكن التباين
الموجود في تقييم الكود الروسي
والأمريكي للعزم المسبب للتشقق في هذه

REFERENCES

المراجع

1. Raed M .Samra ., "Tim-Dependent Deflection of Reinforced Concrete Beams Revisited ," Journal of Structural Engineering, Vol 123 , No.6, June,1997,pp.823-830.
2. Nilson,A.H., "Design of Prestressed concrete ," Second Edition,1987,pp.357-362.
3. Branson,D.E, and Trost,H., "Application of I-Effective Method in Calculating Deflections of Partially Prestressed Members," *PCI Journal*, V.27,No.5,1982,pp.62-77.
4. Branson,D.E., "Instantaneous and Time-Dependent Deflections of Simple and Continuous Reinforced Concrete Beams, " HPR Report,No.7,Part.1,Alabama Highway Department, Bureau of Public Roads, August 1963,pp.1-78.
5. Branson,D.E, and Shaikh,a.f., "Deflection of Partially Prestressed Members," *Special Publication SP-86: Deflection of concrete structures*, American Concrete Institute,Detroit,1985,pp.323-363.
6. Branson, D.E, and Trost, H., "Unified Procedures for Predicting the Deflection and Centroidal Axis Location of Partially Cracked Non-Prestressed and Prestressed Concrete Members," *ACI Journal*, Proceedings, V.79,No.2, March-April 1982,pp.119-130.
7. Tadros,M.K., "Expedient Service Load Analysis of Cracked Prestressed Concrete Sections," *PCI Journal*,V.27,No.6,Nov-Dec 1983,pp.137-158.
8. Harajli,M.H.,and Alameh,A.S., "Deflection of Progressively Cracking Partially Prestressed Concrete Flexural Members," *PCI Journal*,V.34,No.3,1989,pp.94-128.
9. ACI 318-89. "Building Code Requirements for reinforced Concrete," American Concrete Institute, Detroit,1989.
10. الكود العربي لتصميم وتنفيذ المنشآت الخرسانية المسلحة، اتحاد المهندسين العرب، دمشق، 1977.
11. الكود العربي السوري لتصميم وتنفيذ المنشآت الخرسانية المسلحة، نقابة المهندسين، 1992.
12. SNIP 2.03.01-1984., "Concrete and Reinforced Concrete Structures," *SITP*, Moscow, 1985 (in Russian).
13. Boikov, V.N, Sigalov, E.E., "Reinforced Concrete Structures," *stroizdat*, Moscow. 1985. (in Russian).
14. Bandarenka, V.M, and Covarken, D.K., "Reinforced Concrete and Stones Structures," Moscow. 1987. (in Russian).
15. Dmitris, S.A., "Limit State of Reinforced Concrete Structures," *Stroiizdat*, Moscow, 1985. (in Russian).

16. Zalesov, A.S., Kodish, E.N., Lemish, L.L., and Nikitin, I.K., "Strength Cracking Control, and Deformation of Reinforced Concrete," Stroiizdat, Moscow, 1988, P.320 (in Russian).
17. Benmokrane, B., Chaallal, O., and Masmoudi, R., "Flexural Response of Concrete Beams Reinforced with FRP Reinforced Bars," *ACI Structural Journal*, V.93, No.1, 1996, pp.46-55.